

HF

1971

✓ 11 Б152. Колебательная релаксация фтористого водорода. Aigeu J. R., Fried S. F. Vibrational relaxation of hydrogen fluoride. «Chem. Phys. Lett.», 1971, 8, № 1, 23—26 (англ.)

Методом лазерной флуоресценции измерена скорость колебательной релаксации молекул HF при т-ре 350° К. Флуоресценция возбуждалась импульсным хим. лазером HF ( $v=1, I=5 \rightarrow v=0, I=6$ ) работающим на смеси F<sub>2</sub>O+HCl. Измерения выполнены для чистого HF и для смесей HF с Ar, N<sub>2</sub>, F<sub>2</sub> и H<sub>2</sub>. Для чистого HF получено  $\rho\tau=0,014$  мсек·атм, а для смесей определены лишь нижние границы  $\rho\tau$ :  $\rho\tau(\text{Ar})>4$ ,  $\rho\tau(\text{F}_2)>1$ ,  $\rho\tau(\text{N}_2)>4$  мсек·атм. Значение  $\rho\tau$  для смеси HF+H<sub>2</sub> такого же порядка, что и для чистого HF.

М. Р. Алиев

колебательная  
релаксация

X. 1971.

11

XI - 861

1971

MF

23 Б1160. Масс-спектрометрическое изучение фотопионизации  $F_2$ , HF и DF. Berkowitz J., Chirkova W. A., Guyon P. M., Holloway J. H. Spohr R. Photoionization mass spectrometric study of  $F_2$ , HF, and DF. «J. Chem. Phys.», 1971, 54, № 12. 5165—5180 (англ.)

γ

δο

На основании анализа пороговой области кривой эффективности фотопионизации (КЭФ)  $F_2$  с образованием  $F_2^+$  определен 1-й потенциал ионизации  $I(F_2) = 15,686 \pm 0,006$  эв. Процесс  $F_2 + h\nu \rightarrow F^+ + F^-$  (1) начинается при немного меньших энергиях. Он приписан пересечению типа Ландау — Зенера ридберговых состояний, сходящихся к основному состоянию  $F_2^+({}^2\Pi)$ , с кривыми потенциальной энергии, соотв. разделенным ионам  $F^+$  и  $F^-$  в основных состояниях. Процесс (1) дает существенный



см. также  $F_2$  (III)

X. 1971. 23

18

вклад в ионизацию и при более высоких энергиях в области порога процесса  $F_2 + h\nu \rightarrow F^+ + F^- + e^-$ . Путем вычитания интенсивности ионного тока  $F^-$  из интенсивности  $F^+$  в этой области получена корректированная величина пороговой энергии 19,01 эв, что соответствует энергии диссоциации  $D_0(F_2) = 1,59 \pm 0,01$  эв. При фотонизации

HF и (DF) также обнаружены ионизация с образованием молек. иона, образование ионной пары и диссоциативная ионизация. Получено  $I(HF) = 16,00 \pm 0,01$  и  $I(DF) = 16,03 \pm 0,01$  эв. Корректированные величины пороговой энергии образования  $H^+$  и  $D^+$  равны 19,44 и 19,51 эв соотв., что дает  $D_0(HF) = 5,84 \pm 0,01$  эв. На КЭФ и HF обнаружены автоионизац. пики и дана их колич. интерпретация.

По резюме

HF

Berkowitz, Joseph.

1971

(D<sub>0</sub>)

"Electron Spectrosc", Proc. Int. Conf.  
1971, 391 - 9 (Pub 1972)

(cell F<sub>2</sub>, II)

1981

HF

7 Б15. Экспериментальные кривые потенциальной энергии  $X^2\Pi$  и  $^2\Sigma^+$  состояний  $\text{HF}^+$ . Berkowitz J. Experimental potential energy curves for  $X^2\Pi$  and  $^2\Sigma^+$  states of  $\text{HF}^+$ . «Chem. Phys. Lett.», 1971, 11, № 1, 21—26  
(англ.)

Методом фотоэлектронной спектроскопии исследованы молекулы HF и DF. В спектре HF найдено 4 колебательных полосы, соотв-щих трем стационарным связанным состояниям и одному квазистационарному, в спектре DF найдено 5 полос, соотв-щих четырем стационарным и одному квазистационарному состояниям. Из анализа

+2

X. 1982. X



колебательных полос получены след. величины энергий диссоциации  $D : D(\text{HF}) \geq 5,86$  эв,  $D(F_2) = 1,59$  эв, а также спектроскопич. постоянные  $\omega_e$ ,  $\omega_e x_e$ ,  $r_e$ ,  $D_e$  состояний  $X^2\Pi$  и  $^2\Sigma^+$  иона  $\text{HF}^+$  и величина спин-орбитального взаимодействия в состояние  $^2\Pi$ . Полученные данные сопоставляются с неэмпирич. расчетом иона  $\text{HF}^+$  (см. пред. реф.). Согласно эксперименту, глубина потенциальной ямы состояния  $^2\Sigma^+ \text{HF}^+$  равна 0,45 эв, что на 0,08 эв больше, чем по данным хартри-фоковского расчета.

А. Зембеков

FH (u.n)

1971

Борисов Н.Н., Бунасов Н.Н.

"Geofund Falkinbor. обзоръ  
аналогов и аналогий"  
Всесоюз., Мензелиц, 1971,  
167-169"

coll CH; III

FH

Ces. sec. 05.

Boyd R.Y.

1971

Whitehead M.A.

J. Chem. Soc.,

Y

1971, A, v22, 3579.

(Ces. BH) IV

сравнение, определ. масса и массы из  
помеченных геодез. пунктов (94)

Составлено из отмеч.

М-ва Орбет. I II III IV эксп.

FH	π .	16.45	15.16	16.78	15.63	16.05 π
	σ	17.21	16.12	17.86	17.02	20.00 σ
	σ	39.31	41.73	38.64	40.85	

H<sub>2</sub> H<sub>2</sub>, ZF, E<sub>F</sub> (cas. pavé) / 5839 1971

Caralp Z., Cavalier J.-C.,  
C.R. Acad. sci., 1971, C273, N<sub>14</sub>, 801-804  
(ppans.)

théorie des géométries  
libre et des constantes de  
les molécules diatomiques  
la méthode C.N.D.O.

Mars 1972, 5577 1000 (ppans.)

HF

1971

XI-1823

23 БИБЛ. Кинетическая энергия ионов, образованных при фотоионизации HF и F<sub>2</sub>. Chirkov W. A., Berkowitz J. Kinetic energy of ions produced by photoionization of HF and F<sub>2</sub>. «J. Chem. Phys.», 1971, 54, № 12, 5126—5132 (англ.)

С помощью комбинации монохроматора вакуумного УФ-света и специального масс-спектрометра, позволяющего измерять кинетич. энергии (КЭ) ионов, изучены процессы HF + hν → H<sup>+</sup> + F<sup>-</sup> и F<sub>2</sub> + hν → F<sup>+</sup> + F<sup>-</sup> в пороговой области энергий возбуждающего света. Найдены 2 возможных значения энергии диссоциации



См. также F<sub>2</sub> (iii)

X · 1971.23



$D_0(\text{HF}) = 5,91 \pm 0,02$  или  $5,87 \pm 0,02$  эв, из к-рых последнее совпадает с результатами более точных измерений. Эта величина подтверждает значение сродства атома F к электрону (3,400 эв). Получено также  $D_0(\text{F}_2) = 1,58 \pm 0,03$  эв. Измерения КЭ показывают, что ионы  $\text{F}^+$  из  $\text{F}_2$  образуются не только в основном состоянии  ${}^3P_2$ , но и в состояниях  ${}^3P_1$  и (или)  ${}^3P_0$ . При повышении энергии фотонов из  $\text{F}_2$  образуются также ионы  $\text{F}^+({}^1D)$ . Обсуждаются процессы диссоциации и преддиссоциации молек. ионов.

Б. Е. Скурат

X1 -1823

1881

40573u Kinetic energy of ions produced by photoionization of hydrogen fluoride and diatomic fluorine. Chupka, W. A.; Berkowitz, L. (Argonne Natl. Lab., Argonne, Ill.). *J. Chem. Phys.* 1971, 54(12), 5126-32 (Eng). Kinetic energies were measured for the pos. ions produced in the ion-pair formation processes  $\text{HF} + h\nu \rightarrow \text{H}^+ + \text{F}^-$  and  $\text{F}_2 + h\nu \rightarrow \text{F}^+ + \text{F}^-$  at a no. of wavelengths in the region of the thresholds for these processes. The measurements prove that the dissocn. energy  $D_0(\text{HF})$  is either  $5.91 \pm 0.02$  or  $5.87 \pm 0.02$  eV, depending on the value of the electron affinity of the F atom. Since the latter value for  $D_0(\text{HF})$  agrees well with other more precise detns., these results support the value E.A. (electron affinity) (F) = 3.400 eV. The kinetic energy measurements also prove that  $D_0(\text{F}_2) = 1.58 \pm 0.03$  eV. The measurements strongly suggest that the  $\text{F}^+$  ions from  $\text{F}_2$  are produced not only in the  ${}^3P_2$  ground state but also in  ${}^3P_1$  and (or)  ${}^4P_0$  states as well. At higher photon energies, the  $\text{F}^+$  ions from  $\text{F}_2$  are also produced in the  ${}^1D$  state. Dissocn. and predissocn. processes of the mol. ions are discussed.

C.A.

1881-1823, 40573, +2



XI-2620

1971

НГ

1 Д142. Теория молекулярных взаимодействий. II.  
Изучение полимеров HF методом молекулярных орбиталей с использованием минимального базиса слэтеровского типа. De Vene Janet E., Poppe J. A. Theory of molecular interactions. II. Molecular orbital studies of HF polymers using a minimal Slater-type basis. «J. Chem. Phys.», 1971, 55, № 5, 2296—2299 (англ.)

Энергия  $E$  групп из  $n$  молекул HF вычислялась иэмпирич. методом МО ЛКАО ССП на миним. базисе слэтеровских АО, каждая из которых аппроксимирована линейной комбинацией из 4 гауссовых ф-ций. С предварительной оптимизацией базиса получены следующие значения: экспоненты  $\zeta_{1s}=1,30$  для H,  $\zeta_{2s}=8,65$ ,  $\zeta_{2s}=\zeta_{2p}=2,55$  для F,  $R(H-F)=0,938 \text{ \AA}$  (0,917), дипольный момент равен 1,39 ед. Дебая (1,82),  $E=-99,2702$  ат. ед. (в скобках — эксперим. значения). При  $n=2$  варьировалось расстояние между молекулами, и при всех расстояниях

дих

имис

9.1972, 10

3637

каждая из молекул ориентировалась по 12 направлениям икосаэдра. Из 144 взаимных ориентаций были выделены 16 существенно различных, и вблизи самой выгодной из точек полученного таким образом межмолекулярного потенциала плавным образом варьировалась геометрия димера. Получено, что  $R(F-F) = 2,55 \text{ \AA}$ ,  $\Delta E = 5,2 \text{ ккал/моль}$  (эксперим. 5—7), обе молекулы — в одной плоскости, угол между F—F и осью донора  $4^\circ$ , между F—F и осью акцептора  $111^\circ$ . Жесткость  $(HF)_2$  больше жесткости  $(H_2O)_2$ . Из этих димеров конструировались плоские цепи ( $n=3, 4, 5$ ). Оказалось, при всех  $n$  наиболее устойчивы полностью *цис*-конформация, а стабильность растет с  $n$  резко нелинейно:  $\Delta E = 13,6; 22,4$  и  $44,5 \text{ ккал/моль}$ . Еще более стабильны ( $\Delta E = 19,3; 45,4; 63,1$  и  $76,1 \text{ ккал/моль}$ ) циклич. полимеры  $(HF)_n$ ,  $n=3; 4; 5; 6$ , построенные в симметрии  $C_n$  с варьированием радиуса многоугольника  $F_n$ , угла поворота FH в плоскости  $F_n$  и угла отклонения FH от этой плоскости (он оказался равным 0 при всех  $n$ , т. е. устойчивая симметрия  $C_{nh}$ ). Подчеркивается заметная неаддитивность H-связей: напр., вышеупомянутый межмолекулярный потенциал положителен для димера, мысленно выделенного из циклич. пентамера. Ч. I см. РЖФиз, 1970, 10E120.

Ю. Е. Эйзнер

XI-937

1971

O<sub>2</sub>; S<sub>2</sub>; Se<sub>2</sub>; Te<sub>2</sub>; S<sub>6</sub>; S<sub>8</sub>; F<sub>2</sub>; HCN; HF(?)

Guyon P M, Berkowitz J.

J Chem Phys, 1971, 54, N4, 1814-26

CA, 1971, 74, N16, 81386h 10

№ 3056] Paquet reou. cip. Dr (BeH<sub>2</sub>, BeH, BeH<sub>3</sub>, BeH<sub>2</sub>, BH<sub>3</sub>, CH, CH<sub>2</sub>, CH<sub>3</sub>, NH, NH<sub>2</sub>, NH<sub>3</sub>, CH<sub>4</sub><sup>197</sup>, OH, OH<sub>2</sub>, FH, FH<sub>2</sub>)

Hansen R.H., Frenkel G.,  
theor. chim. acta, 1971, 20, N<sup>2</sup>,  
105-112

лест. φ.к

W

(q)

DXF-0

$\text{BeH}_2$ ,  $\text{BH}_3$ ,  $\text{CH}_4$ ,  $\text{NH}_5$ ,  $\text{OH}_2$ ,  $\text{HF}$  (смукрьа,  
об. сеч.  
пакрим) 1971 13

(R 2999)  
Hansen R.H., Frenkel E., 9 15

Theor. Chim. Acta, 1971, 20, N<sup>o</sup> 2, 93-100.  
(чел.)

Spin valence calculations in  
 $\text{AH}_n$  molecules. I. Molecular geo-  
metry of valence structures.

10 16 Ⓢ

CA, 1971, 74, N<sup>o</sup> 2, 57396Y

HF,  $(HF)_2$  (v<sub>i</sub>)

2832 1971

Himes Y.Z., Wiggins T.A,  
J. Mol. Spectrosc., 1971, 40, N<sub>2</sub>, 418-  
- 420 (ans.)

Rotational structure in the  
HF dimer spectrum.

B



Big Bell, 1972, 125274 10

⊕

HF

XI-832

1971

13058y Submillimeter-wave spectra and equilibrium structures of the hydrogen halides. De Lucia, Frank C.; Helminger, Paul; Gordy, Walter (Dep. Phys., Duke Univ., Durham, N.C.). *Phys. Rev. A* 1971, [3]3(6), 1849-57 (Eng). Rotational transitions of a no. of isotopic species of the H halides have been measured in the 1.0- to 0.38-min wavelength region of the spectrum. These transitions have been measured with a submm-wave spectrometer which employs a klystron-driven crystal harmonic generator and a 1.6°K InSb photoconducting detector.

Cyp-pa

KCl  
F3 KBr  
X 15

Cd 1971 752

Pg:11 1972, 16.3.22

HF

Julienne, P. S.; et al.

1971

"Chem. Phys. Lett."

1971, 11 (1), 16-20.

Kpub.  
noticus.  
Ineq?

"Hartree-Fock energy curves for..."

● (all. HF<sup>+</sup>; III)

HF

XI-10.99

1981

20 Б168. Спектры HF и DF изолированных в матрицах инертных газов в средней и длинноволновой инфракрасных областях. Mason M. G., Von Holle W. G., Robinson D. W. Mid-and far-infrared spectra of HF and DF in rare-gas matrices. «J. Chem. Phys.», 1971, 54, № 8, 3491—3499 (англ.)

В ИК-области до  $16 \text{ см}^{-1}$  в Ne-, Ar-, Kr- и He-матрицах при т-ре  $4^\circ\text{K}$  получены колебательно-вращательные и чисто вращательные спектры HF и DF и проведено отнесение полос, соотв-щих мономерным молекулам. По

-1

(см. также ЯF) №

X·1981·20

☒

величинам смещений чисто колебательных уровней вычислены параметры Леннарда—Джонса для взаимодействия полярной молекулы с ее соседними атомами. Для HF рассчитан центр действия дисперсионных сил и определены вращательные возмущения. Обнаружено, что величина эксперим. сдвигов частот не согласуется с теорией вращательно-трансляционного взаимодействия, но это несоответствие и отклонения др. параметров учитываются при рассмотрении анизотропии вращательной потенциальной функции.

О. Г. Гаркуша

HF

10

эмиссион.  
спектр;

10 Б91. Определение исходного распределения колебательной энергии методом инфракрасной хемилюминесценции. I. Реакция атомов фтора с водородом и метаном. Jonathan Neville, Melliar-Smith C. M., Slater David H. Initial vibrational energy distributions determined by infrared chemiluminescence. I. The reaction of fluorine atoms with hydrogen and methane. «Mol. Phys.», 1971, 20, № 1, 93—102 (англ.)

Исследован эмиссионный спектр в ИК-области молекул HF, образованных при р-ции атомов F с молекулами H<sub>2</sub> и CH<sub>4</sub>. Обнаружены линии колебательно-вращательных переходов из возбужденных состояний с  $v' < 3$ . Из относит. интенсивности линий определено распределение молекул HF по колебательно-вращательным уровням. Путем экстраполяции временной зависимости относит. заселенности колебательных уровней к начальной стадии р-ции вычислены относит. константы скорости заселения колебательных уровней:  $k_3/k_2=0,76$ ,  $k_2/k_1=3,4$  (F+H<sub>2</sub>) и  $k_3/k_2=0,23$ ,  $k_2/k_1=3,0$  (F+CH<sub>3</sub>).

М. Р. Алиев

X · 1971 · 10

Moret recensit p. (CH, CH<sup>+</sup>, CH<sub>2</sub>, CH<sub>2</sub><sup>+</sup>, CH<sub>3</sub>, CH<sub>3</sub><sup>+</sup>)  
Bryant et al., J. Am. Chem. Soc. 71, 1949, 1871  
Curtiss et al., J. Am. Chem. Soc. 71, 1949, 1872  
NH<sub>3</sub>, NH<sub>2</sub>; NH<sub>2</sub><sup>+</sup>; NH<sub>3</sub><sup>+</sup>; NH<sub>4</sub>; NH<sub>4</sub><sup>+</sup>; OH, OH<sup>+</sup>, OH<sub>2</sub>; FH,  
OH<sub>2</sub><sup>+</sup>; OH<sub>3</sub>; OH<sub>3</sub><sup>+</sup>; FH, FH<sup>+</sup>, FH<sub>2</sub>)

McLellan W.A., Beckre W.J., Curtiss F.H.  
Popple J.O.

J. Amer. Chem. Soc., 1971, 93, N<sup>o</sup> 24,  
6377-87

b

PX72

HF

1971

98706p Vibrational energy of linear molecules and allowed transitions in infrared and Raman spectra. Malisek, Vladimir (Natl. Sci. Fac., Univ. Palaeky, Olomouc, Czech.). *Acta Univ. Palacki. Olomuc., Fac. Rerum Natur.* 1971, No. 33, 309-23 (Eng). Some quantum mech. and group-theor. characteristics of the vibrational state of a mol. are presented: the description of the vibrational state by means of sym. powers of the irreducible representations; the formulation of general selection rules in ir and Raman spectra; the illustration of a general way for the case of linear mols. For example, mols. XY (HF, TF, HCl, TCl, HBr, TBr, HI, NO, CO) and XYZ mols. (HCN, TCN, FCN, CICN, BrCN, ICN, SCO, SCSe, SCTe) belong to the symmetry  $C_{\infty v}$ ; the  $D_{\infty h}$  symmetry appears in cases of  $X_2(H_2, D_2, O_2, N_2)$ ,  $X_3(C_3$  in  $C_3O_2$ ,  $N_3$  in  $KN_3$ ) and VXY(HCN, TCN, FCN, CICN, BrCN, ICN, SCO, SCSe, SCTe) mols.

c. R. 1973. Zg N/6

417



④ 0054 Ručná  
Zapísaná  
Úřední

HF

1971

132650z; Mid- and far-infrared spectra of hydrogen fluoride and deuterium fluoride in rare-gas matrices. Mason, M. G.; Von Holle, W. G.; Robinson, Dean Wentworth (Dep. Chem., Johns Hopkins Univ., Baltimore, Md.). *J. Chem. Phys.* 1971, 54(8), 3491-8 (Eng). The "vibration-rotation" and "pure rotation" spectra of HF and DF in rare-gas matrices near 4°K were studied, and assignments of the features due to the monomeric mols. were made. The perturbations of the purely vibrational levels were used to compute Lennard-Jones parameters for the interaction between the polar mol. and its neighboring atoms. The center of action of the dispersion forces were caled. for HF, and the rotational perturbations were evaluated. The spectral absorption frequencies are rather well reproduced. The exptl. frequency shifts are not consistent with a theory of rotational-translational coupling but they, and other "anomalous" spectral features, are predicted by considerations of the anisotropies in the rotational potential function. RCJQ

(1)

C.A. 1971. 44.24

X

HF, DF (u.n.)

X<sup>-</sup> 2855

1971

Mason M. G.,

Diss. Abstr. Int., 1971, B32, N1, 208 (aniv.)

Infrared spectra of matrix isolated hydrogen fluoride and deuterium fluoride.

10

⑤

CA, 1972, 76, N2, 8521k

HF

1971

) 21 Б139. Инфракрасная хемилюминесценция в реакции атомов водорода с дифторидом кислорода. Регон M. J. Infrared chemiluminescence from the reaction of hydrogen atoms with oxygen difluoride. «J. Chem. Phys.», 1971, 54, № 9, 4024—4028 (англ.)

Струю  $H_2$ , прошедшего область высоковольтного разряда, смешивали со струей  $OF_2$  в сосуде из нерж. стали, снабженном окнами из  $NaCl$ . Вращательно-колебательный спектр испускания  $HF$  — продукта р-ции;  $H + OF_2 \rightarrow HF^* + OF$  ( $\Delta H = -92,9$ ,  $E_{акт} = 2—3$  ккал/моль) — записан в области основной частоты и 1-го обертона

науч. уч.



(+I) I



X. 1971. 21

(3300—8000 см<sup>-1</sup>). С использованием ЭВМ получены след. относит. заселенности колеб. уровней  $v=1, 2, \dots, 8$ , исправленные с учетом излучательной релаксации (время жизни 1—5 мсек) и ударной дезактивации молекулами H<sub>2</sub>: 1,1; 1,4; 1,0; 0,71; 0,45; 0,22; 0,011; 0,012. Вращательное распределение больцмановское для  $v=1$ , но небольцмановское для  $v=2$  и 3 при J>6; линейные участки графиков распределения соответствуют  $T_{\text{вращ}}=436^\circ\text{K}$ . В колебательно-вращательную энергию HF переходит не меньше 32% от  $-\Delta H + E_{\text{акт}}$ ; сравнение частот колебаний ν<sub>OF</sub> в OF<sub>2</sub> и в OF (831 и 1028 см<sup>-1</sup>) показывает, что в р-ции укорачивается связь O—F и, следовательно, часть энергии р-ции переходит в энергию колебаний OF. В родственной р-ции H+OCl<sub>2</sub>→HCl\*+OCl HCl забирает также ~30% выделяющейся энергии, однако, в отличие от системы H+OF<sub>2</sub>, параллельно образуются HOCl и Cl.

Р. Васильев

HF

1941

16 Б17. Сопоставление двух методов определения зарядов на атомах на примере молекулы HF. Politzer Peter, Mulliken Robert S. Comparison of two atomic charge definitions, as applied to the hydrogen fluoride molecule. «J. Chem. Phys.», 1971, 55, № 10, 5135—5136 (англ.)

Обсуждены недостатки метода анализа заселенностей Малликена при вычислении эффективных зарядов на атомах в молекулах — зависимость результатов от базисного набора АО (необходимость использования сбалансированного базисного набора) и трудности отнесения плотности перекрывания к отдельным атомам.

РЖХ, 1942, № 6

Предложено вычислять эффективные заряды непосредственно из молек. распределения электронного заряда путем интегрирования функции электронной плотности по областям, ассоциированным с отдельными атомами, определяя эти области через накладывающиеся распределения зарядов свободных атомов (см. РЖХим, 1971, 6Б25). При таком подходе два расчета молекулы HF (РЖХим, 1964, 15Б26 и 1962, 21Б11) приводят к одинаковым зарядам на H (+0,27) и F (-0,27), тогда как при обычном делении заселенности перекрывания они дают расходящиеся результаты (для H +0,23 и +0,48).

М. Дяткина

H<sub>2</sub>F, HCl, HBr, HI, H<sub>2</sub>O, H<sub>2</sub>S, H<sub>2</sub>Se, H<sub>2</sub>Te, (сверху) 1.  
NH<sub>3</sub>, PH<sub>3</sub>, AsH<sub>3</sub>, SbH<sub>3</sub>, CH<sub>4</sub>, SiH<sub>4</sub>, GeH<sub>4</sub>, SnH<sub>4</sub> 137

Price W.C., Potts A.W., XI 276:

3rd Int Conf. dig. Tokyo, 1971,  
1PA2-2/1 - 1PA2-2/4 (cont.) 11/2

The photoelectron and vacuum  
ultraviolet spectra of the hyd-  
rides of the elements in groups  
IV, V, VI, and of Neon VII. by Prof. Dr. G.

Price, 1972, 85176 to C. H. Price

НГ

XI 26/47

1971

1 Д201. Неэмпирический расчет силовых постоянных и равновесной геометрии. III. Гидриды второго периода. Pulay P. Ab initio calculation of force constants and equilibrium geometries. III. Second-row hydrides. «Mol. Phys.», 1971, 21, № 2, 329—339 (англ.)

Методом ССП МО ЛКАО в базисе гауссовых орбиталей вычислены силовые постоянные, равновесные структурные параметры и дипольные моменты молекул HF, NH<sub>3</sub>, CH<sub>4</sub> и BH<sub>4</sub><sup>-</sup>. Силовые постоянные определялись по теореме Гельмана—Фейнмана путем численного дифференцирования сил, действующих на ядра. Результаты расчета находятся в удовлетворительном согласии с эксперим. данными. Ч. II см. РЖФиз, 1970, 10Д169.

М. Р. Алиев

+3

9, 1972, 10-201



HF

№ 2647

1971

2 Б45. Неэмпирический расчет силовых постоянных и равновесной геометрии. III. Гидриды элементов второго периода. Pulay P. Ab initio calculation of force constants and equilibrium geometries. III. Second-row hydrides. «Mol. Phys.», 1971, 21, № 2, 329—339 (англ.)

Методом ССП МО ЛКАО в базисе гауссовых орбиталей вычислены силовые постоянные и равновесные структурные параметры и дипольные моменты молекул HF, NH<sub>3</sub>, CH<sub>4</sub> и BH<sub>4</sub><sup>-</sup>. Силовые постоянные определялись по теореме Гельмана—Фейнмана путем численного дифференцирования сил, действующих на ядра. Результаты расчета находятся в удовлетворительном согласии с эксперим. данными. Сообщ. I см. РЖХим, 1970, 8Б80.

М. Р. Алиев

Х. 1972.2

+3



HF

XI-2647

1981

31903<sup>w</sup> Ab initio calculation of force constants and equilibrium geometries. III. Second-row hydrides. Pulay, P. (Res. Group Inorg. Chem., Hung. Acad. Sci., Budapest, Hung.). *Mol. Phys.* 1971, 21(2), 329-39 (Eng). Force consts. of the mols. HF, NH<sub>3</sub>, CH<sub>4</sub> and BH<sub>4</sub><sup>-</sup> have been calcd. ab initio by the force method with a 73/3 + 1 gaussian lobe basis set. The results, including a former calcn. on H<sub>2</sub>O, agree well with expt.: the av. relative error is 12% for the diagonal force consts. and the av. abs. error is 0.06 mdyn/Å for the off-diagonal ones. The trends are also correctly reproduced. Ab initio calcns. of this accuracy can help to solve a no. of spectroscopic problems. Force consts. of BH<sub>4</sub><sup>-</sup> have been detd. from a combination of spectroscopic and ab initio information. Geometries have been obtained with little computing work and show good agreement with expt.

seen.

noct

C. II. 19

II. 45. 12

NH<sub>3</sub>

F3

CH<sub>4</sub>

BH<sub>4</sub>

BH<sub>4</sub>

HF

1971

5 Б12. Исследование молекулы HF методом разделенных электронных пар. Régnier S., Mme. Etude de F. H. par la méthode des paires d'électrons séparés. «J. chim. phys. et phys.-chim. biol.», 1971, 68, № 9, 1246 (франц.)

Метод разделенных электронных пар применен к расчету энергии молекулы HF. Построено 5 взаимно ортогональных двухэлектронных орбиталей, одна из к-рых оказывается орбиталью связи. Ионный и ковалентный характер связи описываются вариац. параметрами.

По резюме

расч  
энергии

X. 1972.5

(HF) LiH,  
H<sub>2</sub>O, CH<sub>3</sub>,  
NH<sub>4</sub>

1971

X-5316

8 Д173. Обусловленность «колебательных» и «вращательных» уровней энергии протонной структурой молекул. Thomas I. L. «Vibrational» and «rotational» energy levels as protonic structure in molecules. «Phys. Rev. A: Gen. Phys.», 1971, 3, № 2, 565—567 (англ.)

Показано, что «колебательная» структура спектров гидридов обусловлена электрическими дипольными переходами протонов из их основного состояния (с главным квантовым числом  $n$ ) в возбужденное состояние (с главным квантовым числом  $n+1$ ). Напр., для молекулы HF вычисленное значение энергии перехода  $4277,4 \text{ см}^{-1}$  близко к экспериментальному  $3969,57 \text{ см}^{-1}$ , аналогичные величины для LiH равны  $1562,3 \text{ см}^{-1}$  и  $1359,2 \text{ см}^{-1}$  соот-

ф. 1971. 82

+4 III

+1 с общим III

ветственно. Обсуждаются молекулы воды, аммиака и метана в связи с возможностью в них электрических квадрупольных, магнитных дипольных, двухпротонных и электрон-протонных переходов. Предполагается, что «вращательная» структура возникает в результате электрических дипольных переходов из основного состояния в состояние с более высоким орбитальным моментом, без изменения главного квантового числа.

Р. А. Эварестов

HF

X-5316

1971

17 Б61. «Колебательные» и «вращательные» энергетические уровни как протонная структура в молекулах.  
Thomas I. L. «Vibrational» and «rotational» energy levels as protonic structure in molecules. «Phys. Rev. A: Gen. Phys.», 1971, 3, № 2, 565—567 (англ.)

Модель протонной структуры молекулы, развитая автором в пред. работах (РЖХим, 1970, 7Б77) применена к расчету энергии колебательно-вращательных уровней. Вариац. методом выполнены численные расчеты для молекул HF и LiH. При расчете использован приближенный гамильтониан  $E = E^1 + \sum e^2/r_{ip}$ , где  $E^1$  — приближенная энергия иона F<sup>-</sup> (или Li<sup>+</sup>),  $r_{ip}$  — расстояние между электроном и протоном. Колебательные уровни в этой модели описываются главным квантовым числом  $n$ ,

Ei

+l

X. 1971. 18

(+4) III

(f1) бобинг

причем для основного состояния HF  $n=108$  и для основного состояния LiH  $n=125$ , а вращательные уровни — азимутальным квантовым числом  $l$  при заданном  $n$ . Для энергий дипольных переходов ( $\Delta n=1$ )  $n=108 s \rightarrow 109 p$  в HF и  $n=125 s \rightarrow 126 p$  в LiH получены значения  $4277,4$  и  $1562,3 \text{ см}^{-1}$  (эксперим. значения  $3961,57$  и  $1359,2 \text{ см}^{-1}$ ). Качественно рассмотрены также уровни переходы для воды, аммиака и метана. М. Р. Алиев

HF

1421

12 Б17. Колебательно-вращательное взаимодействие  
в молекуле HF. Тороузханап Ага Н., Тороу-  
зханап Аги С. Vibration-rotation interaction in the  
HF molecule. «Z. Naturforsch.», 1971, 26a, № 10, 1630—  
1633 (англ.)

Пронтегрировано ур-ние Шредингера для вращающе-  
гося осциллятора Морзе. Расчет проведен на цифровой  
ЭВМ и аналоговой ВМ для молекулы HF. Рассчитаны  
уровни энергии и волновые функции состояний с кван-  
товыми числами  $v=0, 1, 3$  и вращательными числами  
 $0 \leq J \leq 12$ . Результаты, полученные с использованием  
аналоговой ВМ и цифровой ЭВМ практически совпада-  
ют, что подтверждает точность метода, использующего  
аналоговую ВМ, реализация расчета на к-рой проще,  
чем на ЭВМ.

А. Зембеков

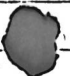
расчет

δ,

828

X. 1972

12



X-9

HF

XI-2888

1971

39370q) Vibration-rotation interaction in the hydrogen fluoride molecule. Topouzhanian, Ara H.; Topouzhanian, Ari S. (Fac. Pedagog., Beirut, Lebanon). *Z. Naturforsch. A* 1971, 26(10), 1630-3 (Eng). The vibration-rotation interaction term in the potential term is evaluated by a digital computer and the deformed potential curves belonging to each rotational level are detd. by an analog method.

Msh

C. d. 1979. 76 8

HF

XI-2888

1971

5 Д114. Колебательно-вращательное взаимодействие в молекуле HF. Торопукханян Ага Н., Торопукханян Агі С. Vibration-rotation interaction in the HF molecule. «Z. Naturforsch.», 1971, 26a, № 10, 1630—1633 (англ.)

(м.н)  
Из численного решения ур-ния Шрёдингера найдены волн. ф-ции возбужденных колебательно-вращательных состояний молекул HF. При этом учитывалось, что из-за вклада колебательно-вращательного взаимодействия в общую потенц. энергию каждому вращательному уровню соответствует своя, немного отличающаяся от других, потенц. кривая.

Б. Ф. Гордиц

Ф. 1971.52

HF

1971

12 Д221. Изменение электрического дипольного момента при изменении межъядерного расстояния в случае колебательно-вращательных полос излучения молекулы HF. Торозханян Ага, Торозханян Аги, Grandmontagne Raymond. Variation du moment électrique dipolaire avec la distance internucléaire dans le cas des bandes de vibration—rotation émises par la molécule HF. «С. г. Acad. sci.», 1971, 272, № 24, B1370—B1372 (франц.)

Ф. 1971. 120

Потенциальная энергия молекулы HF представлена в виде суммы ф-ции Морзе и энергии колебательно-вращательного взаимодействия. Численные значения постоянных известны и  $G(v) = 4134,97(v+1/2) - 85,723(v+1/2)^2$ . При помощи машинного расчета решено ур-ние Шрёдингера и с найденными волн. ф-циями вычислены  $r$ -центроиды  $\bar{r}_{1,2}^n$ ,  $n=1-4$ , для перехода (1,0). По опытным значениям интенсивностей  $I_J$  линий с  $J=7, 8, 9, 10, 11$ , измеренным в спектре излучения HF при т-рах 3257; 3616 и  $3890^\circ\text{K}$ , по ф-ле  $\bar{r}_{1,2}M_1 + \bar{r}_{1,2}^2M_2 + \bar{r}_{1,2}^3M_3 + \bar{r}_{1,2}^4M_4 = \text{const} \cdot \{(I_J/v^4 J) \exp[B(J+1)(J+2)/kT]\}^{1/2}$  вычислены отношения  $M_1$  к  $M_2, M_3, M_4$ . Разложение электрич. дипольного момента в ряд по степеням межъядерного расстояния имеет вид:  $M = M_0 + M_1r(1 - 2,4r + 1,1r^2 + 0,4r^3)$ . Равновесное значение в состоянии  $X^1\Sigma$  равно 0,9171 Å. М. А. Ковнер

FH

XJ-3178

1972

(79607z) Potential energy surface including electron correlation for  $F + H_2 \rightarrow FH + H$ . Refined linear surface. Bender, Charles F.; O'Neil, Stephen V.; Pearson, Peter K.; Schaefer, Henry F., III (Lawrence Radiat. Lab., Univ. California, Livermore, Calif.). *Science* 1972, 176(4042), 1412-14 (Eng). A priori quantum mech. calcns. have been carried out at about 150 linear geometries for the F plus H mol. system. An extended basis set of Gaussian functions was used, and electron correlation was treated explicitly by configuration interaction. Comparison with the exptl. activation energy and exothermicity suggests that the theoretical potential surface is quite realistic.

notenuj.

no bpx.

C.A. 1972. 47. 12

$\text{Li}_2, \text{LiH}, \text{F}_2, \text{HF}$  ( $E_i$ , pacrem) " 87261 1972

Bendazzoli G. L., Bernardi F.  
Gerezia A., Palmieri P.A.,

Theor. chim. acta, 1972, 24, N, 63-

- 68 (err.)

M. O. calculations for some  
first row diatomic molecules.

BIC 2000, 1973, 3521

10

3

$\text{OH}$ ,  $\text{HF}^+$ ,  $\text{HF}$ ,  $\text{HF}^-$ ,  $\text{NeH}^+$ ,  $\text{NeH}$  ( $E_i$ ;  $\gamma_e$ ,  $D_0$ ,  
 $\omega_n$ ,  $p_{\text{recim}}$ )

Bondybey V., Pearson P. R.,  
Schaefer H. F. III, VI 3141

J. Chem. Phys., 1972, 57, N3, 1123 -  
- 1128 (and.)

Theoretical potential energy  
curves for  $\text{OH}$ ,  $\text{HF}^+$ ,  $\text{HF}$ ,  $\text{HF}^-$ ,  $\text{NeH}^+$   
and  $\text{NeH}$ .

Ref. List, 1972, 211524 5 10 (P)

Omnibus 3272

1972

HF.

F<sub>2</sub>

(μ, n)

(D<sub>0</sub>)

C. H.

11828s Electronic spectra of hydrogen fluoride and molecular fluorine. Di Lonardo, G.; Douglas, A. E. (Div. Phys., Natl. Res. Counc., Ottawa, Ont.). *J. Chem. Phys.* 1972, 56(10), 5185-6 (Eng). The high-resolution vacuum uv absorption and emission studies of HF and F<sub>2</sub> made possible rotational anal. and identification of vibrational levels of the ground electronic states of these mols. The vibrational levels  $v = 7$  to  $v = 19$  of ground-state HF and  $v = 0$  to  $v = 10$  of the upper electronic state were identified in the  $V^1\Sigma-X^1\Sigma$  emission spectrum. The highest rotational level of the  $v = 19$  level of the ground state lies at 47,337.43 cm<sup>-1</sup> above the lowest rotational level  $J = 0, v = 0$ . The HF dissocn. energy is 47,333 cm<sup>-1</sup>. Rotational anal. of the F<sub>2</sub> absorption bands involving  $v'' = 0-2$  gave  $\Delta G(1/2) = 893.95$ ,  $\Delta G(3/2) = 870.05$ ,  $B_0 = 0.08827$ ,  $\alpha = 0.0131$  cm<sup>-1</sup> for the ground state of F<sub>2</sub>. The dissocn. energy of F<sub>2</sub> given by W. Strickler and L. Krauss (1968) is questioned.

1972

X1

(+1)

44.2

*Отмечено 3272*

HF

✓10 Д310. Электронные спектры HF и F<sub>2</sub>. Di Lopardo G., Douglas A. E. Electronic spectra of HF and F<sub>2</sub>. «J. Chem. Phys.», 1972, 56, № 10, 5185—5186 (англ.)

1972

(Dо  
(и.н)

Проведены измерения спектров поглощения и испускания HF и F<sub>2</sub> на спектрографе высокого разрешения (дисперсия 0,2 Å/мм) в УФ-области до 1480 Å. В спектре испускания HF идентифицированы 60 полос и определено относит. положение колебательных уровней от  $v=7$  до  $v=19$  основного состояния и от  $v=0$  до  $v=10$  первого возбужденного. Вычислены абр. значения энергии впервые определенных уровней. Найдена энергия диссоциации HF, равная  $47\ 333 \pm 60$  см<sup>-1</sup>, что согласуется с теоретич. расчетами. В спектре поглощения HF впервые обнаружены дискретные вращательные линии в области от 1040 Å до ионизационного предела. При высоком разрешении идентифицированы 25 вращательных линий в спектре поглощения F<sub>2</sub> и определены константы основного состояния молекулы. Сделан вывод, что ранее определенные значения энергии диссоциации F<sub>2</sub> не следует считать надежными.

П. Ш.

X/1-30/74

+1



9. 1972. 10

HF

1972

$\lambda_{H^+}$

Engelbrecht A.

"Chem, Phys. Lett."

1972, 16, N3, 560-562.

(all HCl; III)

HF

1972

Kammeier, C.W., Whitman D.R.

Re

J. Chem. Phys., 1972, 56, N9,  
4419-4421.

(see  $\text{CF}_4$ ); III

40305.8909  
TE,Ch,Ph

HF

1972

5-3920

K p.N 40305.8904K

Lipscomb W.N.

Molecular properties.

"Theor. Chem." London e.a., 1972,  
167-196

(англ.)

(ав. Li<sub>2</sub>; III); (ав. LiH; III) 0058 РНК

038 042

ВИНИТИ

FO<sub>(2)</sub>OH, OF<sub>5</sub> XI 2845 1922

Zevy D. H.

J. Chem. Phys., 1922, 13, 1052-1061

Production of hydroxyl in the reaction  
of H + F<sub>2</sub>O and the binding energy of  
FO.

Philad., 1922

135397

① 3 10 ②

147d

KH,  
Bly -  
16. nov.  
paesi

Montgomery H. S. et al.

J. Chemic. Phys., 1972,  
n 4, 7449.

Применение барометрического метода изучения  
переходов между состояниями в геодинамике. I. Реконструи-  
рование 10-летней записи изображ

11011, 11,

11111, . . .

PMK, 1972, 15619

X1 3076

1982

HF Muenter J.S.

26847w Polarizability anisotropy of hydrogen fluoride.  
Muenter, J. S. (Dep. Chem., Univ. Rochester, Rochester, N.Y.).  
*J. Chem. Phys.* 1972, 56(11), 5409-12 (Eng). The hyperfine  
spectra for the  $J = 1$  and 2 states of HF were obsd. by mol.  
beam elec. resonance spectroscopy. The obsd. Stark coeffs.  
are cor. for centrifugal distortion and yield a value for the polariz-  
ability anisotropy,  $\alpha = 0.220 \pm 0.020 \text{ \AA}^3$ . Differences in the  
values for the spin-rotation interactions were obsd. for the 2  
rotational states and these are used to calc.  $dC_F/dR = (1.66 \pm$   
 $0.10) \times 10^3 \text{ kHz}/\text{\AA}$  and  $dC_H/dR = (2.5 \pm 1.4) \times 10^3 \text{ kHz}/\text{\AA}$ .

C.A. 1982. 47-4, 26847 w

RH

1972

Ei

---

Paulo H. Cadorz.  
"Theor. chim. acta."  
1972, 26, II, 85-98.

---

(act. BH; III)

HF

1972

Prophet H., Syverud A.N.

Govt. Rep. Announce, 1972, 72,  
76-77.

• (see Alzberg) III

1972

HF

5 Д384. Интенсивности и коэффициенты ударного уширения полосы второго обертона фтористого водорода. Spellacy R. L., Meredith R. E., Smith F. G. Strengths and collision broadened widths in the second overtone band of hydrogen fluoride. «J. Chem. Phys.», 1972, 57, № 12, 5119—5123 (англ.)

Рассчитаны и экспериментально измерены интенсивности линий колебательно-вращательных переходов  $(v, J) \rightarrow (v-3, J \pm 1)$  молекулы HF. Найдено, что матричный элемент электрического дипольного перехода  $v=3 \rightarrow v=0$  равен  $1,628 \cdot 10^{-21}$  ед. СГСЕ. Измерены также коэф. самоуширения. Экспериментально найденная зависимость этих коэф. от  $J$  находится в хорошем согласии с теорией Андерсона.

Б. Гордиц

Ф. 1973 № 5

$N_2$ ;  $O_2$ ;  $H_2$ ;  $I_2$ ;  $CO$ ;  $NO$ ;  $HF$  (D<sub>0</sub>, u.n.)  
vacuum 1972

Sprandef. Z. Z., Kern. C. W., XI 3460

Mol. Phys., 1972, 24, N6, 1383-1391  
(cont.)

A test of perturbation theory  
for determining anharmonic  
vibrational corrections to proper-  
ties of diatomic molecules.

Phys. Rev., 1973, 50(175) ③ 10 ④

HF

X1 2889

1972

119316s Vibration-rotation interaction in the hydrogen fluoride molecule. II. Evaluation of the r-centroids and the higher terms of the electric dipole moment for some vibration-rotation bands. Topouzhanian, Ara H.; Topouzhanian, Ari S. (Fac. Sci., Univ. Lyon, Lyon, Fr.). *Z. Naturforsch. A* 1972, 27(1), 68-71 (Eng). The r-centroids relative to the 1-0 transition of the  $X^1\Sigma^+$  state of HF were detd. from wave functions calcd. by methods previously described by T. and T. (1971). Comparison with exptl. line intensities showed that the different terms of the elec. moment expansion were of the same order of magnitude. A 4th-order representation of the dipole moment was proposed.

C.A. 1972. 76.20

ХI 2889

1972

HF

15 Б266. Вращательно-колебательное взаимодействие в молекуле HF. II. Оценка  $r$ -центроидов и высших членов электрического дипольного момента некоторых колебательно-вращательных полос. Торопукханян Ара Н., Торопукханян Аги С. *Vibration-rotation interaction in the HF molecule. II. Evaluation of the  $r$ -centroids and the higher terms of the electric dipole moment for some vibration-rotation bands.* «*Z. Naturforsch.*», 1972, 27a, № 1, 68—71 (англ.)

Оценены величины  $r$ -центроидов  $r_{1-2}^k = \int_0^\infty \Psi_1 r^k \Psi_2 dr$

( $r$  — междуядерное расстояние) для  $0 \leq K \leq 4$  и  $7 \leq J \leq 12$  перехода 1—6 основного электронного состояния  $X'\Sigma^+$  молекулы HF. Величины  $r$ -центроидов входят в выражение матричного элемента  $R$  рассматриваемого колебательного перехода  $R = \sum M_k r_{1-2}^k$ , где  $M_k$  — коэф.

Х. 1972.

15

разложении электрич. дипольного момента  $M$  по степеням  $r$ . Анализ эксперим. данных Шевалейра по интенсивностям линий  $7 \leq J \leq 11$  перехода  $0 \rightarrow 1$  в спектре испускания молекулы HF ( $3257 \leq T \leq 3890^{\circ}$  K) показывает, что в разложении электрич. дипольного момента  $M$  молекулы HF необходимо учитывать все члены до  $K=4$  включительно. Приведены определенные в работе относительные величины членов в разложении  $M$  по степеням  $r$  молекулы HF:  $M_1/M_0 = -2,20$ ,  $M_2/M_0 = 0,14$ ,  $M_3/M_0 = 2,27$ ,  $M_4/M_0 = -1,21$ .

А. П. Александров

ZiH; HF; H<sub>2</sub>O (M.n., pacem) X 8027 1973

Allison D.J., Handy N.C., Boys S.F.,  
Mol. Phys., 1973, 26, N3, 715-723 (auw.)

A new basis set for molecular  
wavefunctions.

ECP8 P.K

Date 28/11/1974, 5535

10

(9)

HP

1973

(C.N.)

Anderson, Alfred B.

J.Chem.Phys.

1973, 58(I), 381-5.

● (crys. LiH; III)

$\text{LiH}$ ;  $\text{BH}_3$ ;  $\text{BF}_3$ ;  $\text{CH}_4$ ;  $\text{CH}_2\text{NH}$ ;  $\text{HCN}$ ;  
 $\text{CO}$ ;  $\text{N}_2$ ;  $\text{HN}_2^+$ ;  $\text{N}_2\text{O}$ ;  $\text{HF}$ ;  $\text{Li}_2$ ;  $\text{BeH}_2$ ;  $\text{BH}_4^-$ ;  
 $\text{BH}_3$ ;  $\text{B}_2\text{H}_6$ ;  $\text{CH}_3^+$ ;  $\text{C}_2\text{H}_6$ ;  $\text{C}_2\text{H}_4$ ;  $\text{C}_2\text{H}_2$ ;  
 $\text{C}_3\text{H}_6$ ;  $\text{H}_2\text{CO}$ ;  $\text{HCOOH}$ ;  $\text{HCOF}$ ;  $\text{NH}_3$ ;  $\text{H}_2\text{O}$ ;  $\text{H}_2\text{O}_2$

(ED.EE.)  
 (COMPUTER)  
 (PRINTED)

Avdeef A.; Fackler J.P.; Jr.; IX 4216

Young. Chem., 1973, 12, N3, 713-716

(cont.)

Computer generation of cubic  
 molecular symmetry orbitals.



Peking Univ., 1973, 16514

1973

Bachet G.

HF

These doct. sci. phys.

KOLYKOV  
BRAVAT.  
MOSCOW

Fac. sci techn. Saint-

Jerome, 1973, 80 XVIP  
ILL



(Fr)

I973

HF

G.C.Berend and R.L.Thommarson

J.Chem.Phys. 58, 3203 (I973)

Vibrational relaxation in HF and DF

1973

HF

DF

*заселений  
комб.  
смесей*

7 Д1067. Реакция  $F + H_2$ ,  $D_2$ , HD: определение с помощью химического лазера насыщенностей колебательных состояний продуктов и внутримолекулярный кинетический изотопный эффект реакции  $F + HD$ . Веггу Mischen J.  $F + H_2$ ,  $D_2$ , HD reactions: chemical laser determination of the product vibrational state populations and the  $F + HD$  intramolecular kinetic isotope effect. «J. Chem. Phys.», 1973, 59, № 12, 6229—6253 (англ.)

Определены насыщенности колебательных состояний генерирующих молекул в химич. лазере на колебательно-возбужденных молекулах HF и DF, образующихся в процессе импульсного фотолиза при комбинационной т-ре смесей различных фторсодержащих соединений с  $H_2$ ,  $D_2$  и HD. Показано, что для всех четырех изотопных реакций  $F + H_2$ ,  $D_2$ , HD имеет место, с небольшими исключениями, полная идентичность в распределении энергии по колебательным уровням. В качестве источников атомов

Ф.1974 № 7

+1

фтора применялись  $\text{CF}_3\text{J}$ ,  $\text{CF}_2=\text{CFJ}$ ,  $\text{CF}_2=\text{CFBr}$ ,  $\text{CF}_2=\text{CFCI}$ ,  $\text{CF}_2=\text{CCl}_2$  и  $\text{CFCI}=\text{CFCI}$ . Рассмотрена возможность колебательной дезактивации генерирующих молекул атомами и свободными радикалами, образующимися при фотолизе этих соединений, и показана малая роль таких процессов при использованных эксперим. условиях. Изучена временная и спектральная эволюция выходного импульса лазера, сделан вывод о быстрой вращательной релаксации возбужденных молекул. Определены относит. константы скоростей реакций образования  $\text{HF}$  в процессе взаимодействия  $\text{F}$  с  $\text{H}_2$  и  $\text{HD}$ , а также образования  $\text{DF}$  в процессе  $\text{F}+\text{D}_2$  и  $\text{F}+\text{DH}$ , на основании которых рассчитана величина внутримолекулярного кинетического изотопного эффекта. Приведены доказательства эффективности процесса переноса энергии от возбужденного  $\text{HF}$  ( $v=3$ ) к  $\text{HD}$  ( $v=0$ ), а также от  $\text{J}(^2\text{P}_{1/2})$  к  $\text{HF}$  ( $v=0$ ). Библ. 122.

П. Ш.

HF

M.J. Bina C.R?Jones

I973

Appl. Phys. Lett. 22,44(I973)

Use of direct overtone excitation in measurement of the HF ( $v=2$ ) deactivation rate

HF

1973

13 Б239. Квантованное вращательное движение в жидкостях: вращательные спектры в длинноволновой инфракрасной области молекул HF и NH<sub>3</sub> в растворах жидкого SF<sub>6</sub>. Вигнбаум Георг. Quantized rotational motion in liquids: far infra-red rotational spectrum of HF and NH<sub>3</sub> in liquid SF<sub>6</sub>. «Mol. Phys.», 1973, 25, № 1, 241—245 (англ.)

Получены длинноволновые ИК-спектры поглощения молекул HF и NH<sub>3</sub> в жидких р-рах SF<sub>6</sub> при т-рах 0° и —45° (разрешение 1—4 см<sup>-1</sup>). В обоих спектрах идентифицированы полосы, соотв-щие квантованным вращательным переходам: полосы HF более резкие, чем полосы NH<sub>3</sub>. Полосы HF смещены в область низких частот по отношению полос газа. С использованием полуэмпирич. модели оценены ширины полос для вращательных переходов HF в р-ре с SH<sub>6</sub> и HCl в р-рах с SF<sub>6</sub>, CCl<sub>4</sub>, Kr и Ar. Для HF—SF<sub>6</sub> и HCl—SF<sub>6</sub> получено удовлетворительное согласие с экспериментом.

М. Р. Алиев

Х. 1973. № 13

(+) ⊗

1973

HF

*bifid  
chevys*

77623y Quantized rotational motion in liquids. Far infrared rotational spectrum of hydrogen fluoride and ammonia in liquid sulfur hexafluoride. Birnbaum, George (Sci. Cent., North Am. Rockwell Corp., Thousand Oaks, Calif.). *Mol. Phys.* 1973, 25(1), 241-5 (Eng). The resolved rotational structure was obsd. in the far-ir spectra of HF and NH<sub>3</sub> in liq. SF<sub>6</sub>. The rotational lines of HF in SF<sub>6</sub> at 0° and -45° were much more pronounced than those in the HCl spectrum (B. and W. Ho, 1970), whereas the rotational structure was barely resolved in the NH<sub>3</sub> spectrum. The 1st resolved rotational line of HF was the  $J = 2$  line ( $J = 3 \leftarrow J = 2$ ) at 123 cm<sup>-1</sup> (in HCl, it was the  $J = 4$  line at 106 cm<sup>-1</sup>). The HF lines were shifted to lower frequencies relative to the corresponding gas-phase lines, and relative intensities of the rotational lines changed with temp.

C. A. 1973.78, N13

(NH<sub>3</sub>) + 1 18

HF

1973

4 Б116. Колебательная релаксация HF в интервале температур 600—2400° К. Blair L. S., Breshears W. D., Schott G. L. Vibrational relaxation of HF in the temperature range 600—2400° K. «J. Chem. Phys.», 1973, 59, № 4, 1582—1587 (англ.)

По скорости затухания флуоресценции вблизи 2,5 мк, к-рую возбуждали излучением импульсного HF лазера с поперечным разрядом, измерена т-рная зависимость времен колебательной релаксации молекул HF в смесях с HF, Ag и F в интервале т-р от 600 до 2400° К, создававшихся с помощью техники ударной трубы. В интервале т-р от 1500 до 2400° К атомы F в 2—5 раз более эффективны для дезактивации HF, чем молекулы HF. Подтверждены результаты др. исследований о неэффективности атомов Ag для дезактивации HF. Впервые наблюдался максимум в т-рной зависимости времени колебательной релаксации для смеси HF—HF. Колебательная релаксация в этой смеси от значения 0,15 мксек·атм при т-ре 300° К медленно возрастает до значения 0,10 мксек·атм при т-ре 1400° К и в дальнейшем с повышением т-ры несколько уменьшается. Полученные результаты удовлетворительно согласуются с лит. данными. Библ. 21.

С. Н. Мурзин

Колебательная  
релаксация

1974  
№ 4

HF

1973

130994u Vibrational relaxation of hydrogen fluoride in the temperature range 600–2400°K. Blair, L. S.; Breshears, W. D.; Schott, G. L. (Los Alamos Sci. Lab., Univ. California, Los Alamos, N.Mex.). *J. Chem. Phys.* 1973, 59(4), 1582–7 (Eng). HF vibrational deactivation by HF, Ar, and F atoms was studied at 600–2400°K by using the shock tube-laser-induced fluorescence method. Mixts. of HF-Ar and F<sub>2</sub>-HF-Ar were heated by reflected shock waves; following establishment of thermal equil., HF was vibrationally excited by pulsed radiation from an HF pin laser. Relaxation times were obtained from the time-resolved decay of the laser-induced vibrational fluorescence. Measurements of relaxation by F atoms were limited to >1500°K, where F<sub>2</sub> dissociates completely behind the reflected shock wave. The HF self-relaxation time,  $\rho\tau_{HF-HF}$ , exhibits a broad max. with temp., peaking at ≈0.10 μsec.atm at ~1400°K. F atoms were 2–5 times more efficient than HF for HF vibrational deactivation at 1500–2400°K. Ar was a very inefficient collision partner; values of  $\rho\tau_{HF-Ar}$  at 800–2400°K are reported. This is the 1st study in which the max. of  $\rho\tau_{HF-HF}$  with temp. has been fully described; the present results both confirm and unify those of previous high (>1400°K) and low (<1000°K) temp. studies.

CA1973

79,22



+2



large, Boyd, gray-green  
Y.B.

3ak. 247

FA

1973

Molecular orbital determination  
of chemical bond multiplicity

Author. Borisova N.P. Semenov S.C.(USSR)

Institution Vestn Leningrad. Univ. Fiz. Khim

Date. ref. 1973(3) 119-124 (Russ)

(see HCN. III)  
/-)

HF

1973

Brown R.D., Williams.G.R.

"Austral.J.Chem." 1973, 26, N5, 921-925.

милн Нас  
науки  
европы.

(есл. CO; III)

HF

HF<sup>+</sup>

(м.н.)

X. 1974 N 11

X7 3758  
Октябрь 1838

1973

11 Б14. Сравнительный расчет молекулярных свойств молекул HF и HF<sup>+</sup> методом молекулярных орбиталей и методом полного спаривания. В г исе R. E., Mitchell K. A. R., Williams M. L. A comparison of perfect pairing and molecular orbital methods for the calculation of molecular properties of HF and HF<sup>+</sup>. «Chem. Phys. Lett.», 1973, 23, № 4, 504—507 (англ.)

Проведен расчет молек. св-в основного состояния молекулы HF(<sup>1</sup>Σ) и двух низколежащих состояний молекулы HF<sup>+</sup>(<sup>2</sup>Σ, <sup>2</sup>π) методом ССП МО ЛКАО и методом полного спаривания; волновая функция последнего строится как комбинация слэйтлеровских детерминантов, отвечающая простой валентной схеме. При этом спаривание связывает поляризованные орбитали атомов фтора и водорода. Для обоих методов орбитали остова

полагаются фиксированными, кроме линейных параметров орбиталей варьируются и значения орбитальных экспонент. Приведены рассчитанные обоими методами значения энергии, равновесных межъядерных расстояний, дипольных моментов, силовых постоянных и орбитальных заселенностей. Кроме того приведены значения потенциалов ионизации, определенные с помощью теоремы Купманса и непосредственно по разности энергий молекулы и иона. Полученные результаты использованы для обсуждения возможностей обоих методов.

В. И. Пузышев



40226.7302  
CH, Ph, TE

HF

96201

1973  
1838

Bruce R.E., Mitchell K.A.R., Williams M.L.  
A comparison of perfect pairing and  
molecular orbital methods for the  
calculation of molecular properties  
of HF and HF<sup>+</sup>.

"Chem. Phys. Lett.", 1973, 23, N 4, 504-507

(англ.)

0050 РМК

034 035 0043

ВИНИТИ

HF

HF<sup>-</sup>

и.и.

XI-3758  
отмечена 1838

1973

6 Д142. Сравнение методов молекулярных орбиталей и идеального спаривания для расчетов молекулярных свойств HF и HF<sup>+</sup>. Bruce R. E., Mitchell K. A. R., Williams M. L. A comparison of perfect pairing and molecular orbital methods for the calculation of molecular properties of HF and HF<sup>+</sup>. «Chem. Phys. Lett.», 1973, 23, № 4, 504—507 (англ.)

Методом ССП МО и методом валентных схем в приближении идеального спаривания (ИС) в миним. базисе АО слэтеровского типа с полной оптимизацией орбитальных экспонент проведены расчеты основного  $^1\Sigma$ -состояния HF, а также  $^2\Pi$ - и  $^2\Sigma$ -состояний HF<sup>+</sup>, возникающих при ионизации соответственно с  $2p\pi$ - и  $1s\sigma$ -МО. Приведены полные энергии, дипольные мо-

ф. 1974 № 6



менты, оптимизированные значения экспонент, орбитальные заселенности, равновесные длины связи и силовые постоянные (для основного состояния HF), потенциалы ионизации с 1σ- и 1π-МО, рассчитанные по теореме Кулманса и как разности полных энергий. Результаты расчетов обоими методами сравниваются между собой и с результатами расчетов без оптимизации экспонент.

А. Багатурьянц

HF

1973

Burden F.R., Hart B.T.

"Austral. J. Chem."

1973, 26, N7, 1381-93.

packets  
recep'd.

Mr. N.

(ccr.  $H_2O$ ; III)

HF

Quarantine 2106

1973

Locab.

9-941

Cade Paul E.

Huo Winifred .

" Atom. Data and Nucl.  
Data Tables."

1973, 12 NO. 415-66

(ex. LiH; II)

FH

emmech 3143

1973

57939y Comparative study of the approximation of NNDO [neglect of nonbonded differential overlap]. Carbo, Ramon; Riera, Jose M. (Dep. Quim. Org., Inst. Quim. Sarrià, Barcelona, Spain). *An. Fis.* 1973, 69(1), 1-7 (Span). The NDDO (Neglect of Diatomic Differential Overlap) approxn. within the method of all valence electron (AVR) is applied to the calcn. of mol. properties. Results including the effect of inner electrons are compared with "ab initio" calcn. using Slater orbitals (STO) represented by Gaussian functions (GTO) in FH, H<sub>2</sub>O, NH<sub>3</sub>, CH<sub>4</sub>, BH<sub>3</sub>, and CO. GTO show good agreement with STO method, and much better in all cases than NDDO. Total energies from NDDO approxn. are lower than those from "ab initio" calcn. Inner levels energies from NDDO have correct values and ionization potentials agree with those of "ab. initio." Intermediate energy levels show serious discrepancies. Total energy of H<sub>2</sub>O mol. calcd. as a function of HOH angle using NDDO is min. at 180°.

F. Danon

C.I. 1974. 79 N10

(5)



50331.419

66072 (E)

1973

TC, Ph

FH (Zoologer)

3143

Carbó Ramón, Riera José M.<sup>a</sup> Un estudio  
comparativo de la aproximacion NNDO.

"An. fis. Real soc. esp. fis. y quím.",  
1973, 69, № 1-3, 1-7

(исп., рез. англ.) 0335 ПИК

306 309

03:

ВИНИТИ

Upwards

38

COQUATA  
Bulletin, 1973, 10, 2.

T.S. HF

40306.8431

HF

1973

Ch, Ph, TE

41125

\* 3-3918

Curtiss L.A., Pople J.A.

Molecular orbital calculation of some  
vibrational properties of the complex  
between HCN and HF.

"J. Mol. Spectrosc.", 1973, 48, N 3, 413-  
426  
(англ.)

045 046 0050 0057 ківінити

40123.7226

Ch, Ph, TE

HF  
(c.n.)

49969

1973

5 - 3179

Cyvin S.J., Devarajan V., Brunvoll J.,  
Ra  $\phi$ .

Vibrational analysis of polymeric  
hydrogen fluoride: cyclic  $(HF)_6$ .

"Z. Naturforsch.", 1973, 28a, N 11, 1787-1793

(англ.)

0030 ник

009 010

023

ВИНИТИ

31207.9059

TE,SIS,Ch,PI

FH XI-3679

(E) 49587

1973

1395

von

Diereckson G., H., F., Niessen W., Kraemer W.P. SCF LCGO MO studies on the fluororonium ion  $FH_2^+$  and its hydrogen bonding interaction with hydrogen fluoride FH. "Theor. chim. acta", 1973,  
31, N 3, 205-214

(англ.)  
ФМУ. 1974, 5537

996 997 0 1 1013 ИИК ВИНИТИ

HF, DF

HCl

crossed

| 1973

T.A. Dillon,  
J.C. Stephenson

J. Chem. Phys., 1973,  
58(5), 2056-64

"Calculation of vibrational and  
rotational energy transfer  
between HF, DF, HCl and CO<sub>2</sub>"

HF

XI 34/4

1973

15 Б148. Электронный спектр HF. I. Система полос  $B^1\Sigma^+ - X^1\Sigma^+$ . Di Lopardo G., Douglas A. E. The electronic spectrum of HF. I. The  $B^1\Sigma^+ - X^1\Sigma^+$  band system. «Can. J. Phys.», 1973, 51, № 4, 434—445 (англ.; рез. франц.)

(4.4)

Исследованы с высоким разрешением спектр испускания (1480—2670 Å) и спектр поглощения (700—1040 Å) газа HF(I). Найденные полосы I отнесены электронному переходу  $B^1\Sigma^+X^1\Sigma^+$  (обозначавшемуся ранее  $V^1\Sigma^+ - X^1\Sigma^+$ ). Из анализа 51 полосы спектра испускания определены молек. постоянные I для состояний  $X^1\Sigma^+$  ( $0 \leq v \leq 19$ ) и  $B^1\Sigma^+$  ( $0 \leq v \leq 10$ ):  $G_0(v)$ ,  $T_0 + G_0(v)$ ,  $B_v$ ,  $D_v$ ,  $H_v$  и  $L_v$ . В спектре поглощения I идентифицировано 56 полос системы  $B - X$ . Из анализа спектра поглощения

Синтез 4-122

и № 864

X. 1973 N 15

определены молекулярные постоянные I  $T_0 + G_0(v)$ ,  $B_v$  и  $D_v$  для состояний  $B^1\Sigma^+$  ( $14 \leq v \leq 26$ ). В случае более высоких колебательных квантовых чисел ( $26 \leq v \leq 73$ ) из-за сильных возмущений оказалось невозможным определить значения постоянных  $B_v$  и  $D_v$ , однако были определены начала полос  $T_0 + G_0(v)$ . Для состояний X и B I вычислены потенциальные кривые Ридберга-Кляйна-Риса. Отмечено, что при больших межъядерных расстояниях связь в состоянии I имеет почти ионный характер. Определена энергия диссоциации  $D_0(I) = 47333 \pm 60 \text{ см}^{-1}$ .

По резюме

HF

\* 45 - 122

converge 864

1973

X13414

117235g Electronic spectrum of hydrogen fluoride. I.  
 $B^1\Sigma^+ - X^1\Sigma^+$  band system. Di Lonardo, G.; Douglas, A. E.  
(Div. Phys., Natl. Res. Coun. Canada, Ottawa, Ont.). *Can. J. Phys.* 1973, 51(4), 434-45 (Eng). The electronic emission  
and absorption spectrum of HF was photographed at high resoln.  
with a 10 m grating spectrograph. The emission, which extends  
from 1480 to 2670 Å, consists entirely of bands of the  $B^1\Sigma^+ - X^1\Sigma^+$  (previously denoted as the  $V^1\Sigma^+ - X^1\Sigma^+$ ) system. From  
the anal. of 51 bands of the emission spectrum, consts. of the  
vibrational levels of the  $X$  state from  $v = 7$  and 19 and of the  
 $B$  state from  $v = 0$  to 10 were detd. The dissocn. energy of HF  
was  $D_0(\text{HF}) = 47,333 \pm 60 \text{ cm}^{-1}$ . In the absorption spectrum,  
56 bands of the  $B-X$  system were identified. Vibrational levels  
of the  $B$  state between  $v = 14$  and 26 were well behaved and  
readily analyzed, but levels between  $v = 26$  and 73 were highly  
perturbed. Rydberg-Klein-Rees potential curves were calcd.  
for the  $B$  and  $X$  states. At large internuclear distances, the  
bonding of the  $B$  state was almost entirely ionic.

(u.n. 180)

C.D. 1973.  
78 n18

ХI 3414

1973

HF

✓ 7 Д332. Электронный спектр HF. Ч. I. Система полос  $B^1\Sigma^+ - X^1\Sigma^+$ . Di Leonardo G., Douglas A. E. The electronic spectrum of HF. I: The  $B\Sigma^+ - X\Sigma^+$  band system. «Can. J. Phys.», 1973, 51, № 4, 434—445 (англ.; рез. франц.)

*Эл. спектр*

Электронные спектры излучения и поглощения HF сфотографированы с высоким разрешением. Эмиссионный спектр в области 2670—1480 Å полностью состоит из полос системы  $B^1\Sigma^+ - X^1\Sigma^+$ . Определены молекулярные константы уровней  $X^1\Sigma^+ v=7-19$  и  $B^1\Sigma^+ v=0-10$ . Вычислена энергия диссоциации HF  $47\ 333 \pm 60$  см $^{-1}$ . В спектре поглощения в области 1040—700 Å идентифицировано 56 полос системы  $B-X$ . Отмечается, что колебательные уровни состояния  $B$  с  $v=26$  по  $v=73$  сильно возмущены соседним состоянием  ${}^3\Pi$ . Методом Ридберга — Клейна — Риса получены потенц. кривые состояний  $B$  и  $X$ . Библ. 15.

И. Дворников

15-122

димитр. 8641

qp. 1973 N 7

NF.

Halgreen et al. 1973

allgemeine  
ausgaben

"J. Chem. Phys"  
1973, 58, N<sub>4</sub>, 1589-1591

(Litteratur III)

HF

<sup>1973.</sup>  
Harrison Walter St.

Ideen und  
Compendium

"Phys. Rev. A: Gen. Phys"  
"1973, T N6, 1876 - 88

(cur. chy; III)

HF

1973

DF

Колеб.  
релакс

1 Б167. Колебательная релаксация фтористых водо-  
да и дейтерия. Hinchen J. J. Vibrational relaxation  
of hydrogen and deuterium fluorides. «J. Chem. Phys.»,  
1973, 59, № 1, 233—240 (англ.)

Методом лазерной ИК-флуоресценции исследована ко-  
лебательная релаксация в газах HF, DF, смесей HF с  
Ar и He и смесей DF с Ar, He, H<sub>2</sub> и N<sub>2</sub> при т-ре 295° К  
и при различных давл. Для возбуждения флуоресценции  
использованы импульсные лазеры на HF и DF в попе-  
речных разрядах через смеси SF<sub>6</sub> с H<sub>2</sub> и D<sub>2</sub> соотв. Метод  
основан на измерении временной зависимости флуорес-  
ценции на линиях полосы 0—1 после возбуждения моле-  
кул лазерным импульсом. При давлениях 0,1—12 мм по-  
лучена одиночная экспоненц. кривая затухания и линей-  
ная зависимость вероятности дезактивации ( $K$ ) уровня  
 $v=1$  от давл. Полученные значения  $K$  сопоставлены с  
лит. данными и отмечено значит. расхождение между ре-  
зультатами разных авторов, обусловленное неучитывае-

X. 1974. № 1

мыми эффектами нагрева газа при облучении и заселения высших колебательных уровней при столкновениях, а также влиянием малых примесей; в настоящей работе влияние этих факторов устранено. Результаты измерений проанализированы по теории, учитывающей колебательно-вращательную и колебательно-поступательную релаксацию. Показано, что колебательно-вращательная релаксация в HF, DF и в их смесях является основным механизмом дезактивации возбужденных колебательно-вращательных уровней HF и DF, причем релаксация в HF и DF происходит на несколько порядков быстрее, чем в др. галогенидах водорода. Этот результат качественно согласуется с предсказанием теории Шина, учитывая сильное притяжение на малых расстояниях между молекулами. Показано также, что релаксация в смесях HF и DF с двухатомными молекулами происходит значительно быстрее, чем в смесях HF и DF с инертными газами.

М. Р. Алиев

1973

HF

DF

Колеб.  
релаксац

1 Д712. Колебательная релаксация фтористых водорода идейтерия. Нипснен. J. J. Vibrational relaxation of hydrogen and deuterium fluorides. «J. Chem. Phys.», 1973, 59, № 1, 233—240 (англ.)

Методом возбуждаемой лазером ИК-флуоресценции исследована колебательная релаксация HF и DF при 295° К. Определены константы скорости колебательной релаксации при столкновении HF с HF и DF с DF, а также константы скорости передачи колебательной энергии при столкновении HF — DF. Полученные результаты сравнены с известными данными для систем HCl — DCI и HBr — DBr, а также с теоретич. результатами. Получены константы скорости передачи колебательной энергии в системах DF — D<sub>2</sub> и HF — H<sub>2</sub>, а также скорости колебательной релаксации DF при столкновениях с Ag, He, H<sub>2</sub>, N<sub>2</sub> и HF при столкновениях с Ag и He.

Резюме

φ1974

11

402I9.7572

HF

TE, Ph, Ch

40892

1973

1802

Kalman Barry L. Self-consistent extended  
Hückel theory. I. "J. Chem. Phys.", 1973, 59,  
N9, 5184-5188

(англ.)

0047 ФМК

030 032 (140)

ВИНИТИ

31015.7314  
Ch, Ph, TE

НР

49587

1973

45-2038

Jug Karl.

A new definition of atomic charges  
in molecules.

"Theor. chim. acta", 1973, 31, N 1, 63-73  
(англ.)

0933 ПИК

968 969 976

ВИНТИ

1973

HF

HCl

магнитн.  
св-ва и  
мол. квадру-  
польный

7 Д187. Магнитные свойства и молекулярный квадрупольный момент для HF и HCl, определяемые по ме-

тоду спектроскопии электрического резонанса в молекулярном пучке. de Leeuw F. H., Dumanus A. Magnetic properties and molecular quadrupole moment of HF and HCl by molecular-beam electric-resonance spectroscopy. «J. Mol. Spectrosc.», 1973, 48, № 3, 427—445 (англ.)

Методом электрического резонанса в молекулярных пучках измерялись магн. характеристики и квадрупольные моменты молекул HF и  $H^{35}Cl$  в основном колебательном ( $v=1$ ) и первом вращательном ( $J=1$ ) состояниях. Эксперим. результаты были пересчитаны к жесткой (неколеблющейся) молекуле введением соответствующих поправок на нулевые колебания. Для молекул HF и  $H^{35}Cl$  соответственно найдены следующие значения различных

вис,



(+/-)

Ф 1974 N 7

физич. характеристик: ядерный вклад во вращательный магн. момент (в ядерных магнетонах): 0,97367 и 0,98571; электронный вклад во вращательный магн. момент (в ядерных магнетонах) — 0,23263 (15) и — 0,52636 (9); средняя поляризационная парамагн. восприимчивость ( $10^{-6}$  эрг/Гс $^2$ моль) 0,5579 (4) и 2,46 (5); анизотропия восприимчивости  $\chi_{\parallel} - \chi_{\perp}$  ( $10^{-6}$  эрг/Гс $^2$ моль): 1,342 (25) и 3,49 (10); электронный вклад в квадрупольный момент ( $10^{-24}$  абс. эл. ст. ед. см $^2$ ): —1,52 (3) и —3,95 (12); ядерный вклад в квадрупольный момент: 3,88 и 7,69; полный квадрупольный момент 2,36 (3) и 3,72 (12); *g*-факторы: 0,74104 (15) и 0,45935 (9); для ядерного магн. экранирования (в миллионных долях) найдено анизотропия экранирования протона ( $\sigma_{\parallel} - \sigma_{\perp}$ ): 24 (9) и 21 (5), в том числе анизотропия чистодиамагн. экранирования —96 (9) и —148 (7); анизотропия экранирования галогена ( $\sigma_{\parallel} - \sigma_{\perp}$ ): 108 (9) и 300 (24), в том числе анизотропия чистодиамагн. экранирования: —1 (9) и —4 (25).

Т. К. Ребане

HF

36.50

XI

ш. н. Е<sup>е</sup>  
Гео. штр.

7. 1973

№ 3

3 Б35. Неэмпирические расчеты малых гидридов с учетом электронной корреляции. IX. Равновесные геометрии и силовые постоянные HF, OH<sup>-</sup>, H<sub>2</sub>F<sup>+</sup>, H<sub>2</sub>O, а также энергии протонирования F<sup>-</sup>, OH<sup>-</sup>, HF, H<sub>2</sub>O. Lischka Hans. Ab initio calculations on small hydrides including electron correlation. IX. Equilibrium geometries and harmonic force constants of HF, OH<sup>-</sup>, H<sub>2</sub>F<sup>+</sup> and H<sub>2</sub>O and proton affinities of F<sup>-</sup>, OH<sup>-</sup>, HF and H<sub>2</sub>O. «Theor. chim. acta», 1973, 31, № 1, 39—48 (англ.)

Методом ССП МО ЛКАО в расширенном базисе сгруппированных лепестковых гауссовых орбиталей, с включением функций поляризации *d*-типа на атомах F и O и *p*-типа на атомах H проведен расчет энергий молекул HF, OH<sup>-</sup>, H<sub>2</sub>F<sup>+</sup>, H<sub>2</sub>O для ряда межъядерных расстояний и валентных углов. Полученные данные использованы для определения равновесной конфигурации ядер и силовых постоянных, отвечающих координатам симметрии. На основе проведенных расчетов ССП выполнены расчеты энергий корреляции в приближении независимых электронных пар (см. сообщ. VIII, 1973, 5Б15). С этой целью найденные МО при каждом межъядерном расстоянии локализованы по Бойзу, после чего для каждой локализованной МО найдена разложением по нату-

1973

Лисчка  
№ 40

Л

(+3)

ральным орбиталям парная корреляц. функция, определенная в эффективном поле остальных частиц. С помощью парных функций определены внутри- и межатомо-чечные корреляционные энергии. Найдено, что учет корреляц. эффектов вносит изменения в значения равновесных геометрич. параметров и силовых постоянных, превышающие по величине ошибку хартри-фоковского расчета, так что оценки получаемые методом ССП и с учетом корреляций образуют интервал, содержащий эксперим. результаты. Аналогичными методами проведен расчет энергий протонирования систем  $F^-$ ,  $OH^-$ ,  $NF$ ,  $H_2O$ , для чего дополнительно были выполнены расчеты систем  $F^-$  и  $H_3O^+$ , причем в последнем случае найдено, что конфигурация равновесного состояния ядер является пирамидальной, хотя и близкой к плоской. Полученные результаты сопоставлены с эксперим. данными и теор. данными др. авторов.

В. И. Пупышев

олуч

HF

Х/3650

1973

2 Д209. Неэмпирические расчеты малых гидридов с учетом электронной корреляции. IX. Равновесная геометрия, гармонические силовые постоянные  $\text{HF}$ ,  $\text{OH}^-$ ,  $\text{H}_2\text{F}^+$ ,  $\text{H}_2\text{O}$  и сродство к протону  $\text{F}^-$ ,  $\text{OH}^-$ ,  $\text{HF}$  и  $\text{H}_2\text{O}$ . Lischka Hans. Ab initio calculations on small hydrides including electron correlation. IX. Equilibrium geometries and harmonic force constants of  $\text{HF}$ ,  $\text{OH}^-$ ,  $\text{H}_2\text{F}^+$  and  $\text{H}_2\text{O}$  and proton affinities of  $\text{F}^-$ ,  $\text{OH}^-$ ,  $\text{HF}$  and  $\text{H}_2\text{O}$ . «Theor. chim. acta», 1973, 31, № 1, 39—48 (англ.)

В приближении ССП и метода «независимых электронных пар с парными натуральными орбиталами» (НЭП) проведены расчеты геометрич. характеристик, силовых постоянных и сродства к протону молекул и ионов:  $\text{F}^-$ ,  $\text{HF}$ ,  $\text{OH}^-$ ,  $\text{H}_2\text{O}$ ,  $\text{H}_2\text{F}^+$  и  $\text{H}_3\text{O}^+$ . Базис состоял из сжатых долевых ф-ций Гаусса, которые аппроксимировали  $s$ ,  $p$  и

75

8

1974 № 2

$d$ ,  $s$ ,  $p$  АО, центрированные на тяжелых атомах молекул, и  
 $s$ ,  $p$  АО на атомах Н. После учета корреляционных по-  
правок методом НЭП получено хорошее согласие (в пре-  
делях 5%) с эксперим. значением для валентных сило-  
вых постоянных HF и H<sub>2</sub>O. Геометрич. характеристики  
рассмотренных соединений слабо меняются при учете  
корреляции. Приведены таблицы рассчитанных свойств  
молекул при различных значениях межъядерных рассто-  
яний и углов, сделано, где возможно, сравнение с экспе-  
рим. значениями. Ч. VIII см. РЖФиз, 1973, 6Д170.

А. И. Дементьев

1973

HF

H<sub>2</sub>O

(M. h.)

Kb. ext.  
per centC.A. 1974.80  
N<sup>4</sup>January 2040  
X1-3650

20895a Ab initio calculations on small hydrides including electron correlation. IX. Equilibrium geometries and harmonic force constants of hydrogen fluoride, hydroxide, dihydrogen fluoride ion [H<sub>2</sub>F<sup>+</sup>], and water and proton affinities of fluoride, hydroxide, hydrogen fluoride, and water. Lischka, Hans (Inst. Phys. Chem. Electrochem., Univ. Karlsruhe, Karlsruhe, Ger.). *Theor. Chim. Acta* 1973, 31(1), 39-48 (Eng). Near Hartree-Fock ab initio SCF and correlation energy calcs. based on the independent electron pair approxn. (IEPA) and on the direct calen. of approx. natural orbitals of electron pair functions are reported for F<sup>-</sup>, HF, OH<sup>-</sup>, H<sub>2</sub>O, H<sub>2</sub>F<sup>+</sup>, and H<sub>3</sub>O<sup>+</sup> by using Gaussian type orbital basis sets. The SCF values for the equil. geometries and harmonic force consts. were cor. in the desired direction by inclusion of the correlation energy. The SCF errors were, however, always overcompensated. The agreement with expt. was improved for the sym. stretching force consts. of HF and H<sub>2</sub>O, but bond lengths are too long in the IEPA by the same amt. by which they are too short in the SCF calen. Protonation energies were computed and compared with expts.

+1

P

HF

A-2091

1973

Min.

Miller, Carl E. et al

At. Data 1973, 5(I), I-49.

(cav. LiH, III)

HF

1973

Niessen W.

"theor. chim. acta."

1973, 29, N.I., 29-48.

бумоб.  
cp-yum

● (cet. LiH; III)

LiH, BeH<sub>2</sub>, BH<sub>3</sub>, CH<sub>4</sub>,  $\text{F}_\text{X}$  4560 1973  
NH<sub>3</sub>, H<sub>2</sub>O, HF (u.n.).

Nørbeck J. M.; Gallup, G. A.

Int. J. Quantum Chem., Symp.,  
1973, 7, 161-8 (Eng). 13

First-row hydrides and influences of orbital scaling on formally charged valence bond structures. 6, 9, 10, 11, 12

C.A. 1974.80 N18. 100466 b. 10 ④ 4

(FH-FH) (u.u.) pacrem / xi 3826 1973

Niessen W. von,

Theor. chim. acta, 1973, 31, N 4, 297-  
-309 (anu.)

A theory of molecules in molecules. III. Application to the hydrogen bonding interaction of two FH molecules.

Phys. Rev. 1974, 8524

40

(P)

HF( $\gamma_{H-F}$ ;  $\gamma_{F-F}$ ;  $\angle HFF$ ) 1973  
K.S. Nees. pacrem XI 3573

O'Neil S.V., Pearson P.K., Schaefer H.F.,  
Bender C.F.,

J. Chem. Phys., 1973, 58, N3, 1126-38

(акн.)

Atomic hydrogen + molecular fluorine  $\rightarrow$  hydrogen fluoride + atomic fluorine react O ion. Ab initio potential energy surface CA, 1973, 48, N16, 102 1973

10

④

40206.3711

TE, Ch, Ph, MGU

FH

96201

1973

1705

Politzer P., Elliott J.D., Meroney B.F.

Properties of atoms in molecules. A proposed method for calculating the

extent of distortion of an atom. "Chem.

Phys. Lett.", 1973, № 23, N 3, 331-334

(англ.)

025 025 U 31

0038 ПМК ВИНИТИ

HF

1973

Rode Bernd M.

"Z. Naturforsch"

Denkpr.

compositae

1973, 28a, N9, 1537-38.



(ess.  $F_5SO_4$ ; III)

30717.8878

TE,Ch

HF

(E)

40892

23-1076a

Schatz George C., Bowman Joel M.,  
Kuppermann Aron.

Large quantum effects in the collinear  
 $F + H_2 \rightarrow FH + H$  reaction.

"J. Chem. Phys.", 1973, 58, N 9; 4023-4025  
(англ.)

1917 ник

895 896 3 10

ВИНИТИ

$\text{H}_2\text{O}$ ; HF(u.n., pacem) XI 3370 1973

Simons G.

Chem. Phys. Zett., 1973, 18, N3, 315-

-318 (abs.)

Pseudopotential studies of the  
water and hydrogen fluoride  
molecules.

Peres, 1973, 6D123 6A 1973, 7 10

2<sup>nd</sup> am. Mar-1975, HF, CD. XI-5312 1973  
(numerous. sp-var.).

Simons G., Parr R.G., Finlay J.  
J. Chem. Phys., 1973, 59 (6), 3229-  
-3234.

New alternative to the Dunham  
potential for diatomic molecules.

(

C.A. 1975, 83 n 4. 33271f. 10

④ 5

HF

December 14 1973

1973

CO

2X am. rec'd. 11/11/73

(none)  
p-1311

133274f New alternative to the Dunham potential for diatomic molecules. Simons, Gary; Parr, Robert G.; Finlan, J. Michael (Dep. Chem., Wichita State Univ., Wichita, Kans.). *J. Chem. Phys.* 1973, 59(6), 3229-34 (Eng). A procedure for constructing potential curves for diat. mols. is developed. The procedure is similar to the J. L. Dunham (1932) method, except that the expansion parameter is  $(R-R_e)/R$  instead of  $(R-R_e)/R_e$ . The expansion, which has a formal theor. basis, is superior in terms of both rate of convergence and region of convergence. The expansion coeffs. may be obtained from spectroscopic data, and the proper behavior of the potential at large  $R$  permits detn. of addnl. coeffs. and of dissoci. energies. To illustrate the method, the ground states of HF and CO are treated. Possible extensions to polyat. mols. are discussed.

XI-5312

⑦ - □

C. R. 1975. 83 NY

HF

J. Simons; W.D. Smith.

1973

"J. Chem. Phys"

1973, 58, N11, 4899-4907,

( $\bar{A}e$ )

Theory of electron affinities  
of small molecules."

HF

1973

Санкт-Петербургский институт  
Гидрометеорологии и гидрохимии

"Гидрометцентр" 1973, 95, № 72, 9435-5742.

экспериментальная  
база

(ав. ВН III)

$H_2$ ,  $LiH$ ,  $BH$ , HF,  $CO$  (помещ. ф-ции) 1973.

8493

Сорогинская В.Е., Морозов В.Н.,

Метр. и эксперим. химия, 1973,  
9(6), 795-8.

2

Применение метода ДСАО при  
решении задачи оценки не-  
линейных помех излучений в звук-  
атомических молекулах.

8

210-еэл

с.д. 1974. 80 № 22. 125090 н. 10

Ф

31211.8825

TE, Ch, Ph, MGU

HF

40892

1973

11-2707

Tait K.S., Kolb C.E., Baum H.R.

and vibrational

Classical calculations of rotational excitation in energetic atom-diatomic hydride collisions.

"J. Chem. Phys.", 1973, 59, N 6, 3128-3137

(англ.)

1021 БРК

1005 1006

1014

ВИНИТИ

HF

(973)

DF

комб.  
реакция.

V 71740h Vibrational relaxation of hydrogen fluoride and deuterium fluoride in a shock wave. Vasil'ev, G. K.; Makarov, E. F.; Papin, V. G.; Tal'roze, V. L. (Inst. Khim. Fiz., Moscow, USSR). *Zh. Eksp. Teor. Fiz.* 1973, 64(6), 2046-50 (Russ). Vibrational relaxation of HF and DF was investigated by recording the ir radiation behind the front of an incident shock wave in mixts. of HF (DF) and Ar at 1500-5000°K. The relaxation times in this temp. range can be expressed by  $A \exp(B/T^{1/3})$ .

C.A.

1973

79 N12



+1

☒

HF  
DF

(м.и)

XI 3451

1973

15 Б23 Влияние колебаний ядер на поляризационную составляющую магнитного экранирования протона в молекулах галогенводородов. Володичева М. И., Ребане Т. К. «Вестн. Ленингр. ун-та», 1973, № 4, 38—45 (рез. англ.)

Для парамагнитной экранировки протона  $\sigma^p$  в двухатомных молекулах получена зависимость от межъядерного расстояния методом варьирования простейших функций градиентного преобразования, к-рый сводится к переносу начала отсчета векторного Пт в центр тяжести электронного облака молекулы. Вычислены колебательно-вращательные поправки  $\delta\sigma$  к  $\sigma^p$  в молекулах HF, DF, HCl, DCl, HBr, DBr с использованием эксперим. значений производных от дипольных моментов и спектроскопич. постоянных при т-ре 0 и  $300^\circ$  К. Отмечено, что наибольший вклад в  $\delta\sigma$  вносят нулевые колебания молекул.

Автореферат

X. 1973 N 15523

+4

HF

DF

(J. M. N.)

X/3864

Фонд № У-3173, л. 3243 1973

5 Д299. Вращательный контур полос в фотоэлектронной спектроскопии: HF и DF. Walker T. E. H., Dehmert P. M., Berkowitz J. Rotational band shapes in photoelectron spectroscopy: HF and DF. «J. Chem. Phys.», 1973, 59, № 8, 4292—4298 (англ.)

Контур полосы фотоэлектронного спектра построен на основании рассчитанных сил линий всех вращательных переходов и ширин линий, полученных с помощью известной инструментальной ф-ции. Этот метод, примененный к молекулам HF и DF, хорошо воспроизводит результаты экспериментов и позволяет получить из эксперим. данных уточненное значение константы спин-орбитального взаимодействия  $A$ . Найденная величина  $A = -290 \pm 10 \text{ см}^{-1}$  согласуется с результатом расчета по методу Харти—Фока. Ионизационные потенциалы ( $16,044 \pm 0,003$  эв для HF и  $16,058 \pm 0,003$  эв для DF) определены с точностью, на порядок превышающей точность эксперим. данных, полученных при наилучшем разрешении. Библ. 30.

И. Дворников

Ф. 1974 л. 52299

+1

☒

40225.8484

TE, Ph, MGU

HF

29540

1973

4-3912

Hansen P., Strong J., Vanpee M., Vidaud  
High resolution infrared emission spec-

troscopy of low pressure pre-mixed  
flames. "Infrared Phys.", 1973, 13, N 4,

327-332

(см. OH; II) (англ.)

0051

032 038

164

ВИНИТИ

31031.4512

TE, Ph, Ch, MGU

HF

40892

1973

1263

Tregay-G. W., Valance W. G., MacLean D. I.

Dissociation of diatomic molecules.

I. Effect of limited numbers of rotational states. "J. Chem. Phys.", 1973,  
 59, N 4, 1634-1640 (англ.)

0993 ОНК

973 975

ВИНИТИ

HF

31.7.73

5.5.73

(J)

—

X. 1974

IV/10

) 10 Б72. Формы вращательных полос в фотоэлектронной спектроскопии. HF и DF. Walker T. E. H., Dehmег R. M., Bergowitz J. Rotational band shapes in photoelectron spectroscopy: HF and DF. «J. Chem. Phys.», 1973, 59, № 8, 4292—4298 (англ.)

Предложен метод вычисления сил осцилляторов вращательных переходов при ионизации с учетом только парциальных s-волн. По этим данным определены контуры вращательных полос в фотоэлектронных спектрах HF и DF с учетом инструментального уширения линий.

- Полученные формы полос хорошо согласуются с экспериментальными, что позволяет по эксперим. данным определить константу спин-орбитального взаимодействия. Найденная таким образом величина  $-290 \pm 10 \text{ см}^{-1}$  хорошо согласуется с лит. данными расчетов методом Хартри—Фока. Потенциалы ионизации (ПИ) HF и DF найдены равными  $16,044 \pm 0,03$  и  $16,058 \pm 0,03$  эв, соотв.

- Различие ПИ HF и DF частично обусловлено разницей нулевых колебательных энергий этих молекул и разницей вращательных энергий ионов  $\text{HF}^+$  и  $\text{DF}^+$ . Остающееся расхождение  $\sim 4,7$  мэв может быть предположительно отнесено за счет изотопного электронного сдвига.

По резюме

1973

✓ 3864

41

✓

1973

HF

#4 - 3243

DF

(5)

X7.3826(1)

54344k Rotational band shapes in photoelectron spectroscopy. Hydrogen fluoride and deuterium fluoride. Walker, T. E. H.; Dehmer, P. M.; Berkowitz, J. Argonne Natl. Lab., Argonne, Ill.). *J. Chem. Phys.* 1973, 59(8), 4292-8 (Eng). Rotational line strengths for ionization were calcd. by assuming only 5 partial waves. Rotational band contours were then constructed by broadening each rotational line with a known instrumental line shape. This technique was applied to HF and DF, and reproduces the exptl. results well, allowing an accurate value of the spin-orbit coupling const. to be detd. from exptl. The value of  $-250 \pm 10 \text{ cm}^{-1}$  agrees with previous Hartree-Fock calcs. The ionization potentials ( $16.044 \pm 0.003$  eV for HF,  $16.128 \pm 0.003$  eV for DF) are obtained with an accuracy one order of magnitude better than the exptl. resolv., and there is some evidence for an electronic isotope shift.

C.A.1974. 80. N10

⊕ ⊖